

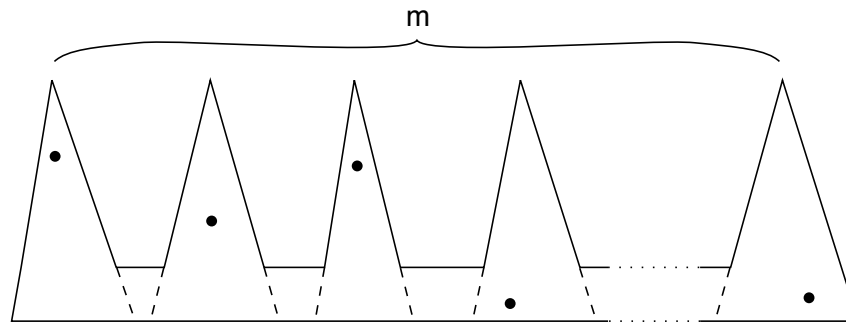
# Zusammenfassung Anwendungen Triangulation

Elmar Langetepe  
University of Bonn

# Art Gallery Probleme: Untere/Obere Schranke

Theorem 4.21: Ein einfaches Polygon  $P$  mit  $n$  Ecken kann stets mit  $\lfloor \frac{n}{3} \rfloor$  Wächtern überwacht werden. Es gibt beliebig große Beispiele, wo diese Anzahl auch benötigt wird.

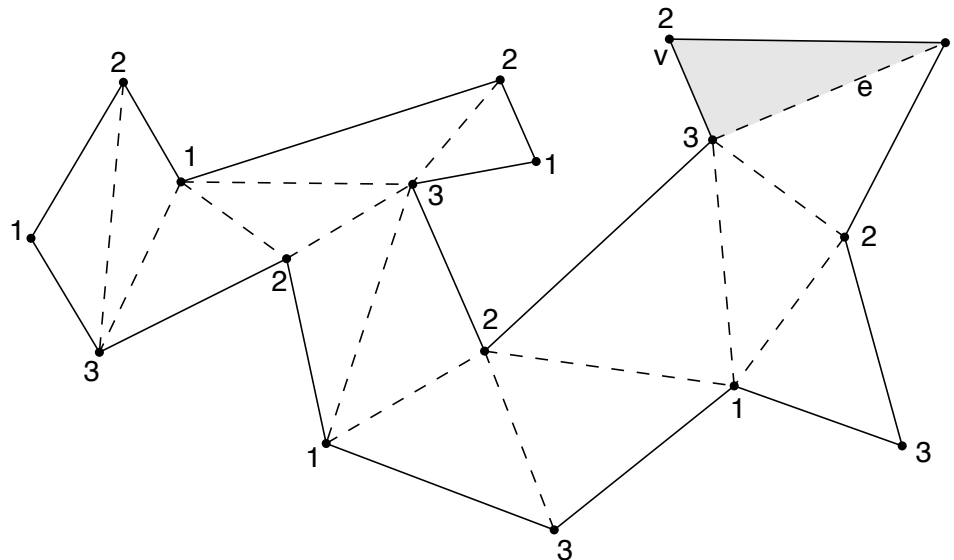
Untere Schranke, skalierbares Beispiel:



Obere Schranke: Beweis mit Triangulation!

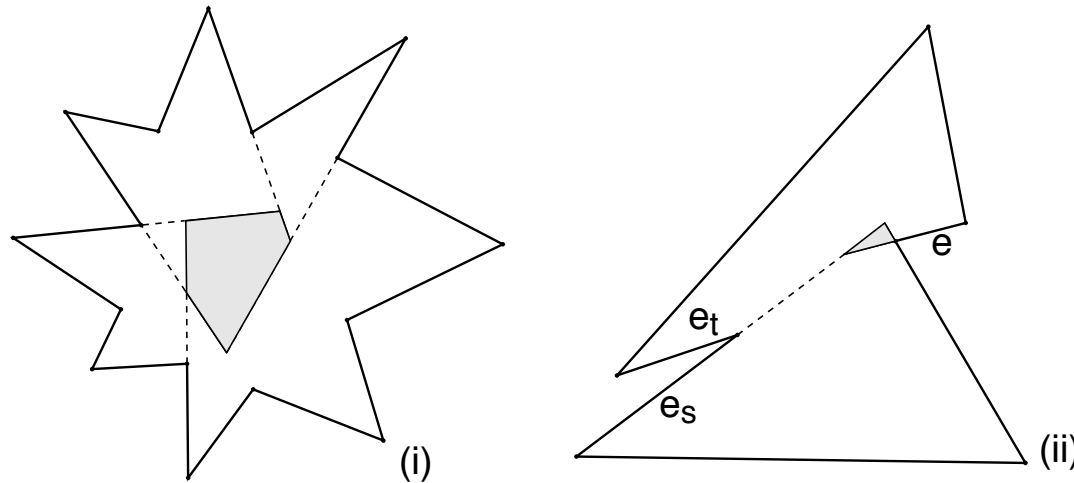
# Art Gallery Probleme: Obere Schranke: $\lfloor \frac{n}{3} \rfloor$

- Beweis: 3-Färbbarkeit einer Triangulation, Induktion!
- 3-Färbung verwenden, wähle *beste* Farbe
- Es existiert eine Farbe mit  $\leq \frac{n}{3}$  vielen Knoten
- Ganzzahlig reicht:  $\lfloor \frac{n}{3} \rfloor$



# Anwendung Drehwinkel: 4.4 Kern eines Polygons

- Definition: Sternförmiges Polygon, es ex.  $p \in P$  mit  $\text{vis}_P(p) = P$
- Definition: Kern,  $\text{ker}(P) := \{p \in P \mid \text{vis}_P(p) = P\}$

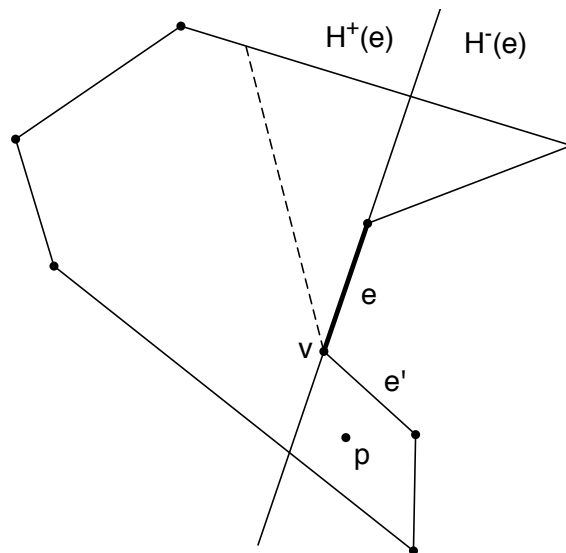


# Struktur: Schnitt von Halbebenen

- Jede Kante  $e$  definiert zwei Halbebenen  $H^-(e)$  und  $H^+(e)$
- Schnitt von Halbebenen berechnen aber nicht alle verwenden

Lemma 4.22  $\ker(P) = \bigcap_{\text{Kante } e \in P} H^+(e)$

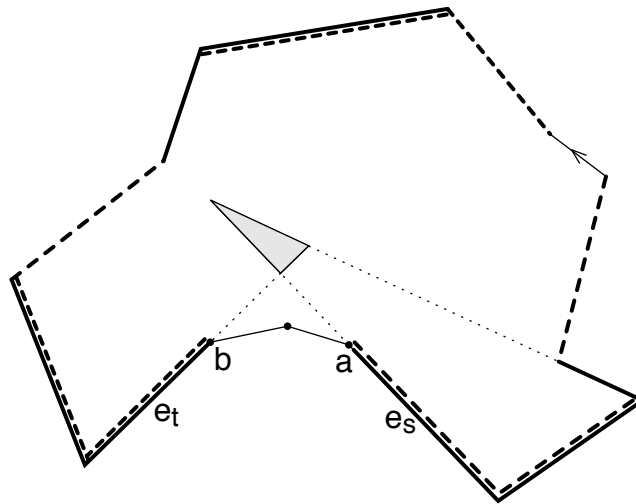
Beweis: Beidseitige Inklusion!



# Drehwinkelfolgen

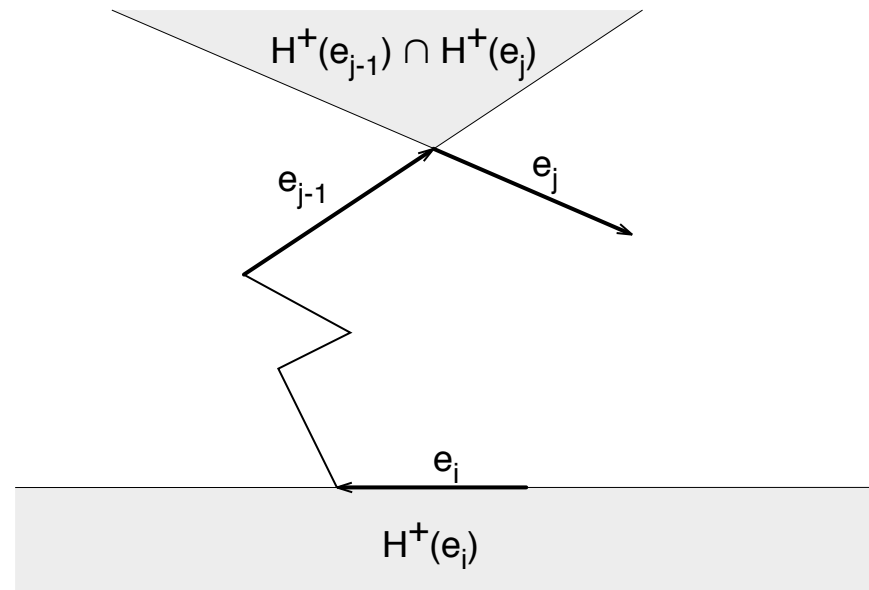
$$\alpha_{\max} := \max_{i \neq j} \alpha_{i,j} = \alpha_{s,t}$$

- Bezeichnung:  $\alpha(e, f)$ , Drehwinkel zwischen Kanten
- $\alpha_{\max}$  zu groß, Kern leer



# Leerer Kern bei großem Drehwinkel

Lemma 4.23 Falls der maximale Drehwinkel  $\alpha_{\max}$  von  $P$  größer gleich  $3\pi$  ist, ist der Kern leer.



Beweis: Spezielle Kantenfolge existiert mit *üblen* Halbebenen!

## Weitere Folgerung!

Korollar 4.24 Sei der maximale Drehwinkel  $\alpha_{\max}$  von  $P$  kleiner  
gleich  $3\pi$  ist, dann gilt für je zwei Kanten  $e_i, e_j$ :  $-\pi < \alpha(e_i, e_j)$ .

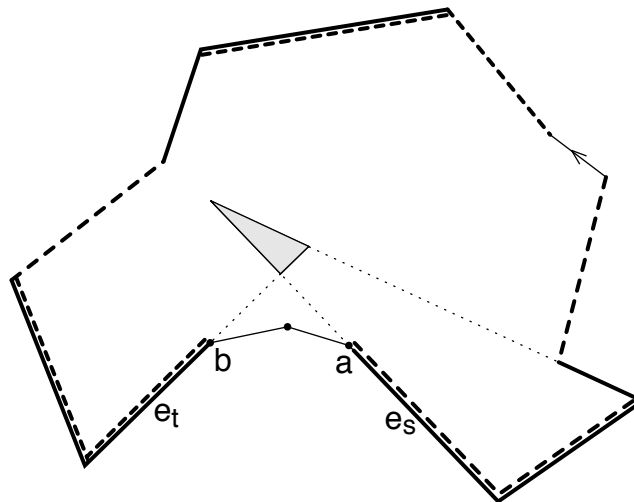
Beweis: Einfach!

# Wichtige Teilfolgen auswählen, rekursiv

Aus maximaler Teilfolge:  $e_s, e_{s+1}, \dots, e_t$

■  $f_0 := e_s$

$$f_{i+1} := \begin{cases} \text{erste Kante } e \text{ hinter } f_i \text{ mit } \alpha(f_i, e) > 0, \\ \text{falls } f_i \text{ noch vor } e_t \text{ liegt,} \\ \text{undefiniert sonst.} \end{cases}$$

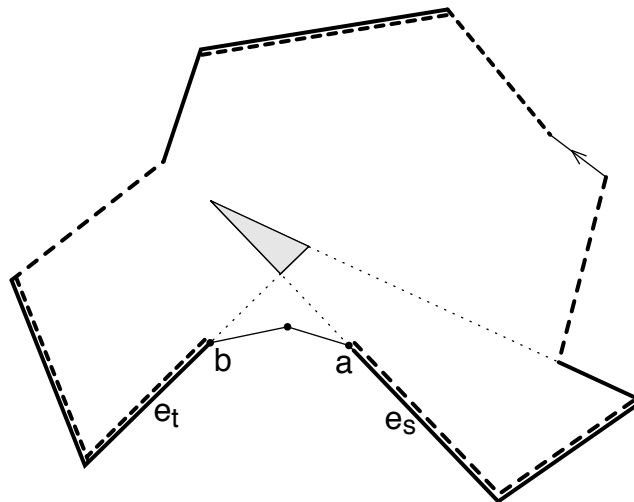


# Wichtige Teilfolgen auswählen, rekursiv

Aus maximaler Teilfolge:  $e_s, e_{s+1}, \dots, e_t$

■  $b_0 := e_t$

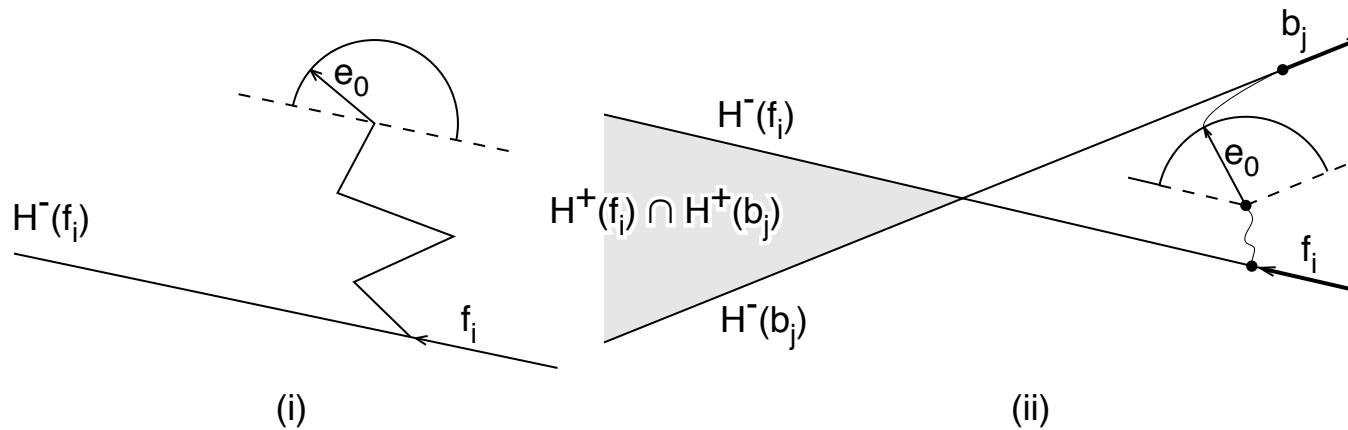
$$b_{i+1} := \begin{cases} \text{letzte Kante } e \text{ vor } b_i \text{ mit } \alpha(e, b_i) > 0, \\ \text{falls } b_i \text{ noch hinter } e_s \text{ liegt,} \\ \text{undefiniert sonst.} \end{cases}$$



# Wichtige Teilfolgen auswählen, rekursiv

Theorem 4.25 Sei  $P$  ein einfaches Polygon mit maximalem Drehwinkel  $< 3\pi$ . Dann gehört jede für den Kern wesentliche Kante von  $P$  zur Folge  $F$  oder zur Folge  $B$ .

Beweis! Kanten zwischen den Folgen  $B$  und  $F$ !



## Ergebnisse sammeln: Kern in $O(n)$

Theorem 4.26 Der Kern eines einfachen Polygons mit  $n$  Ecken kann in Zeit und Platz  $O(n)$  berechnet werden.

Beweis:

- Maximale Teilfolge  $\alpha_{max}$ : Sweep Maximum Subvektor  $O(n)$
- Daraus die Folgen  $F$  und  $B$ : Je  $O(n)$
- Schnitt der Halbebenen der Folgen  $F$  und  $B$ , jeweils sortiert nach Steigung: Je  $O(n)$
- Schnitt zweier konvexer Mengen: Untere/Obere Kontur  $X$ -monotoner Ketten in jeweils  $O(n)$

# Buch Kapitel

Kapitel 4.3.3 Seite 192 unten – S. 194 unten

 Kapitel 4.4 Seite 195 oben – S. 202 unten